

• 功能食品配料生物合成 •

**刘立明** 江南大学教授、博士生导师，教育部长江学者计划特聘教授。主要从事微生物发酵工程的研究与教学工作。作为负责人先后负责国家重点研发计划、国家自然科学基金(重点、优青、面上)项目、江苏省前沿科技引领等国家或省部级项目 20 余项。在 *Nature Catalysis*、*Nature Communications*、*Chemical Reviews*、*Metabolic Engineering*、*Green Chemistry*、《微生物学报》《生物工程学报》等国内外生物工程类主流学术期刊上发表学术论文 260 余篇，其中 SCI 论文 190 余篇(最高 IF=70)、授权发明专利 70 余项、出版科技著作 4 部。研究成果获国家技术发明二等奖(第三)、教育部科技进步一等奖(第一)、江苏省自然科学一等奖(第三)、中国石油与化学工业技术发明一等奖(第二)等。



## 代谢工程改造大肠杆菌底物利用途径促进 L-赖氨酸生产

许雪晨<sup>1</sup>, 王浩森<sup>1</sup>, 陈修来<sup>1</sup>, 吴静<sup>2</sup>, 高聰<sup>1</sup>, 宋伟<sup>2</sup>, 魏婉清<sup>2</sup>, 刘佳<sup>1</sup>,  
柳亚迪<sup>1\*</sup>, 刘立明<sup>1\*</sup>

1 江南大学 生物工程学院 工业生物技术教育部重点实验室, 江苏 无锡 214122

2 江南大学 生命科学与健康工程学院, 江苏 无锡 214122

许雪晨, 王浩森, 陈修来, 吴静, 高聰, 宋伟, 魏婉清, 刘佳, 柳亚迪, 刘立明. 代谢工程改造大肠杆菌底物利用途径促进 L-赖氨酸生产[J]. 生物工程学报, 2024, 40(8): 2513-2527.

XU Xuechen, WANG Haomiao, CHEN Xiulai, WU Jing, GAO Cong, SONG Wei, WEI Wanqing, LIU Jia, LIU Yadi, LIU Liming. Metabolic engineering of the substrate utilization pathway in *Escherichia coli* increases L-lysine production[J]. Chinese Journal of Biotechnology, 2024, 40(8): 2513-2527.

**摘要:** L-赖氨酸作为一种必需氨基酸, 广泛应用于饲料、食品、医药等领域。针对大肠杆菌(*Escherichia coli*)发酵生产 L-赖氨酸存在底物利用效率差、糖酸转化率低等问题, 本研究通过敲除全局调控因子基因 *mlc*, 异源表达来源于麦芽糖磷酸转移酶基因 *malAP*, 提高菌株对二糖、三糖的利用效率, 得到菌株 *E. coli* XC3, 其 L-赖氨酸产量、产率和生产强度分别提高到 160.00 g/L、63.78% 和 4.44 g/(L·h); 在此基础上, 在菌株 *E. coli* XC3 中过表达谷氨酸脱氢酶基因 *gdhA*、来源于枯草芽孢杆菌(*Bacillus subtilis*)硝酸盐还原酶基因 *BsnasBC* 和来源于 *E. coli* 的亚硝酸盐还原酶基因 *EcnirBD*, 构建硝酸盐同化路径, 获得工程菌 *E. coli* XC4, 其 L-赖氨酸产量、产率和生产强度分别

资助项目: 江苏省农业科技创新基金[CX(22)1012, CX(23)2005]; 江苏省自然科学基金(BK20200614)

This work was supported by the Jiangsu Agricultural Science and Technology Innovation Fund (CX(22)1012, CX(23)2005) and the Provincial Natural Science Foundation of Jiangsu Province (BK20200614).

\*Corresponding authors. E-mail: LIU Liming, mingll@jiangnan.edu.cn; LIU Yadi, Liuyadi@jiangnan.edu.cn

Received: 2024-01-17; Accepted: 2024-03-16

提高到 188.00 g/L、69.44% 和 5.22 g/(L·h)，进一步通过优化残糖浓度和碳氮比，在 5 L 发酵罐中将 L-赖氨酸产量、产率和生产强度分别提高到 204.00 g/L、72.32%、5.67 g/(L·h)，比出发菌株 XC1 分别提高了 40.69%、20.03%、40.69%。本研究通过强化菌株的底物利用途径，构建了 L-赖氨酸高产菌株，为 L-赖氨酸的工业化生产奠定了坚实基础。

**关键词：**大肠杆菌；L-赖氨酸；代谢工程；底物利用

## Metabolic engineering of the substrate utilization pathway in *Escherichia coli* increases L-lysine production

XU Xuechen<sup>1</sup>, WANG Haomiao<sup>1</sup>, CHEN Xiulai<sup>1</sup>, WU Jing<sup>2</sup>, GAO Cong<sup>1</sup>, SONG Wei<sup>2</sup>, WEI Wanqing<sup>2</sup>, LIU Jia<sup>1</sup>, LIU Yadi<sup>1\*</sup>, LIU Liming<sup>1\*</sup>

1 Key Laboratory of Industrial Biotechnology of Ministry of Education, School of Biotechnology, Jiangnan University, Wuxi 214122, Jiangsu, China

2 School of Life Sciences and Health Engineering, Jiangnan University, Wuxi 214122, Jiangsu, China

**Abstract:** L-lysine is an essential amino acid with broad applications in the animal feed, human food, and pharmaceutical industries. The fermentation production of L-lysine by *Escherichia coli* has limitations such as poor substrate utilization efficiency and low saccharide conversion rates. We deleted the global regulatory factor gene *mlc* and introduced heterologous genes, including the maltose phosphotransferase genes (*malAP*) from *Bacillus subtilis*, to enhance the use efficiency of disaccharides and trisaccharides. The engineered strain *E. coli* XC3 demonstrated improved L-lysine production, yield, and productivity, which reached 160.00 g/L, 63.78%, and 4.44 g/(L·h), respectively. Furthermore, we overexpressed the glutamate dehydrogenase gene (*gdhA*) and assimilated nitrate reductase genes (*BsnasBC*) from *B. subtilis*, along with nitrite reductase genes (*EcnirBD*) from *E. coli*, in strain *E. coli* XC3. This allowed the construction of *E. coli* XC4 with a nitrate assimilation pathway. The L-lysine production, yield, and productivity of *E. coli* XC4 were elevated to 188.00 g/L, 69.44%, and 5.22 g/(L·h), respectively. After optimization of the residual sugar concentration and carbon to nitrogen ratio, the L-lysine production, yield, and productivity were increased to 204.00 g/L, 72.32%, and 5.67 g/(L·h), respectively, in a 5 L fermenter. These values represented the increases of 40.69%, 20.03%, and 40.69%, respectively, compared with those of the starting strain XC1. By engineering the substrate utilization pathway, we successfully constructed a high-yield L-lysine producing strain, laying a solid foundation for the industrial production of L-lysine.

**Keywords:** *Escherichia coli*; L-lysine; metabolic engineering; substrate utilization

L-赖氨酸作为重要的工业原料，广泛应用于食品、医药、饲料等领域<sup>[1]</sup>。近年来，随着应用研究的不断深入，对于 L-赖氨酸的需求量以

每年 10%–15% 的增长率持续增长，全球 L-赖氨酸的市场规模已超过 300 万 t<sup>[2]</sup>。为了满足全球市场对 L-赖氨酸日益增长的需求，提高 L-赖氨酸的

生产能力成为了目前的研究热点。发酵法生产 L-赖氨酸的菌种主要包括大肠杆菌(*Escherichia coli*)<sup>[3-4]</sup>、谷氨酸棒状杆菌(*Corynebacterium glutamicum*)<sup>[5-6]</sup>、黄色短杆菌(*Brevibacterium flavum*)<sup>[7]</sup>等。其中，大肠杆菌由于其遗传背景清晰、基因编辑手段丰富、生长周期短等特点，已成为生产 L-赖氨酸的主要菌种。然而，利用大肠杆菌生产 L-赖氨酸仍然需要进一步强化代谢路径以提高 L-赖氨酸的底物转化率。研究人员为了进一步提高大肠杆菌中 L-赖氨酸的底物转化率，开发了一系列代谢工程策略：(1) 强化 L-赖氨酸合成路径基因。通过过表达 L-赖氨酸合成路径上的天冬氨酸激酶基因 *lysC*、天冬氨酸半醛脱氢酶基因 *asd*、二氢吡啶二羧酸还原酶基因 *dapB* 等路径酶基因，使 L-赖氨酸产量达到 125.6 g/L<sup>[8]</sup>。(2) 增强前体草酰乙酸、天冬氨酸合成基因。通过敲除丙酮酸激酶基因 *pykF*，使天冬氨酸积累量达到 6.95 mmol/L，同时过表达磷酸烯醇式丙酮酸羧化酶基因 *ppc*，增强草酰乙酸合成，最终使 L-赖氨酸产量提高了 22.22%<sup>[9-10]</sup>。(3) 关键酶蛋白质工程改造。为了解除 L-赖氨酸对天冬氨酸激酶 LysC 的反馈抑制，通过过表达抗反馈抑制突变体 LysC<sup>T344M</sup>，使 L-赖氨酸产量提高至 126.5 g/L，生产强度达到 3.14 g/(L·h)<sup>[8,11]</sup>。(4) 辅因子工程。通过过表达 *E. coli* 吡啶核苷酸磷酸转移酶编码基因 *pntAB*，提高 NADPH 含量，将 L-赖氨酸产量提高至 134.9 g/L，转化率 45.4%<sup>[3,6]</sup>。以上研究策略虽然在改善底物转化率的同时显著提高了大肠杆菌的 L-赖氨酸产量，但大肠杆菌仍存在对底物的摄取能力不足、底物利用不充分等问题<sup>[12]</sup>，限制了转化率的进一步提高。

为此，本研究测定了 *E. coli* XC1 对不同底物的利用能力，随后，通过敲除全局调控因子基因 *mlc*<sup>[13]</sup>、表达 α-磷酸-葡萄糖苷酶基因 *malA*

和丙酮酸依赖型麦芽糖磷酸转移酶亚基基因 *malP*，得到了 *E. coli* XC3 菌株，显著提高了 L-赖氨酸生产菌株对二糖、三糖底物的利用效率。在此基础上，进一步改造 XC3 氮代谢路径，并引入硝酸盐同化路径，构建了 L-赖氨酸生产菌 *E. coli* XC4，显著提高了 L-赖氨酸生产菌的氮源利用效率。最终，通过优化发酵过程中残糖浓度和碳氮比，使 *E. coli* XC4 菌株 L-赖氨酸产量达到 204.00 g/L，转化率达到 72.32%，生产强度达到 5.67 g/(L·h)，大幅提高了 L-赖氨酸生产菌株的生产性能，为 L-赖氨酸的工业化生产奠定了基础。

## 1 材料与方法

### 1.1 材料

#### 1.1.1 菌株、质粒和引物

实验所用重组菌株、质粒及引物见表 1 和表 2。

#### 1.1.2 主要仪器和试剂

实验中所用的酶制剂均购自宝生物工程(大连)有限公司；实验中所用的试剂盒、一步同源重组酶购自南京诺唯赞生物科技股份有限公司；PCR 引物由苏州金唯智生物科技有限公司合成；其他试剂均购自国药集团化学试剂有限公司。5 L 全自动发酵罐购自迪必尔生物工程(上海)有限公司。

#### 1.1.3 培养基

LB 培养基(g/L): 酵母粉 5.00, 蛋白胨 10.00, NaCl 5.00。

发酵培养基: 葡萄糖 20.00 g/L, 甜菜糖蜜 30.00 g/L, 玉米浆干粉 10.00 g/L, 甜菜碱 3.00 g/L, MgSO<sub>4</sub> 1.50 g/L, FeSO<sub>4</sub> 20.00 mg/L, 苏氨酸 450.00 mg/L, 氯化钾 1.00 g/L, 甲硫氨酸 400.00 mg/L, 生物素 0.60 mg/L, 使用氨水调节 pH 至 7.20, 121 °C 灭菌 15 min。

**表 1 本研究所用的质粒和菌株**

Table 1 Plasmids and strains used in this study

Plasmids and strains	Relevant characteristics	Sources
Plasmids		
pTargetF	sgRNA	Lab store
pCas9	araBAD promoter, Kan <sup>R</sup>	Lab store
pEM	pBR322 ori, P <sub>T5</sub> , Amp <sup>R</sup>	Lab store
pEM-gdhA	pBR322 ori, P <sub>T5</sub> , Amp <sup>R</sup> , gdhA	This study
pEM-glnA	pBR322 ori, P <sub>T5</sub> , Amp <sup>R</sup> , glnA	This study
pEM-amtB	pBR322 ori, P <sub>T5</sub> , Amp <sup>R</sup> , amtB	This study
pEM-gltBD	pBR322 ori, P <sub>T5</sub> , Amp <sup>R</sup> , gltBD	This study
pET28a	pBR322 ori, P <sub>T7</sub> , Kan <sup>R</sup>	This study
pET28a-1	pBR322 ori, P <sub>T7</sub> , Kan <sup>R</sup> , KoNasAC	This study
pET28a-2	pBR322 ori, P <sub>T7</sub> , Kan <sup>R</sup> , PpNasB	This study
pET28a-3	pBR322 ori, P <sub>T7</sub> , Kan <sup>R</sup> , RcNasAC	This study
pET28a-4	pBR322 ori, P <sub>T7</sub> , Kan <sup>R</sup> , BsNasBC	This study
pET28a-5	pBR322 ori, P <sub>T7</sub> , Kan <sup>R</sup> , PsNasC	This study
pET28a-6	pBR322 ori, P <sub>T7</sub> , Kan <sup>R</sup> , BmNasBC	This study
pET28a-7	pBR322 ori, P <sub>T7</sub> , Kan <sup>R</sup> , RpNasA	This study
pET28a-8	pBR322 ori, P <sub>T7</sub> , Kan <sup>R</sup> , MgNasA	This study
pET28a-9	pBR322 ori, P <sub>T7</sub> , Kan <sup>R</sup> , AvNasC	This study
pET28a-10	pBR322 ori, P <sub>T7</sub> , Kan <sup>R</sup> , KoNirD	This study
pET28a-11	pBR322 ori, P <sub>T7</sub> , Kan <sup>R</sup> , PpNirBD	This study
pET28a-12	pBR322 ori, P <sub>T7</sub> , Kan <sup>R</sup> , RcNasB	This study
pET28a-13	pBR322 ori, P <sub>T7</sub> , Kan <sup>R</sup> , EcNirBD	This study
pET28a-14	pBR322 ori, P <sub>T7</sub> , Kan <sup>R</sup> , BsNasDE	This study
pET28a-15	pBR322 ori, P <sub>T7</sub> , Kan <sup>R</sup> , PsNirBD	This study
pET28a-16	pBR322 ori, P <sub>T7</sub> , Kan <sup>R</sup> , BmNasDE	This study
pET28a-17	pBR322 ori, P <sub>T7</sub> , Kan <sup>R</sup> , PdNasBG	This study
pET28a-18	pBR322 ori, P <sub>T7</sub> , Kan <sup>R</sup> , KpNasD	This study
Strains		
<i>Escherichia coli</i> JM109	General cloning host	TaKaRa Bio
<i>E. coli</i> M2019435	Derivative of <i>E. coli</i> MG1655 for producing L-lysine	Lab store
<i>E. coli</i> XC1	<i>E. coli</i> M2019435 aspC-lysC-asd-dapA-dapB	This study
<i>E. coli</i> XC2	<i>E. coli</i> XC1 Δmlc	This study
<i>E. coli</i> XC3	<i>E. coli</i> XC2 ΔcadA::malAP	This study
<i>E. coli</i> XC4	<i>E. coli</i> XC3 ΔgntT::gdhA	This study
<i>E. coli</i> XC3-1	<i>E. coli</i> XC3-pEM-amtB	This study
<i>E. coli</i> XC3-2	<i>E. coli</i> XC3-pEM-gdhA	This study
<i>E. coli</i> XC3-3	<i>E. coli</i> XC3-pEM-gltBD	This study
<i>E. coli</i> XC3-4	<i>E. coli</i> XC3-pEM-glnA	This study

**表 2** 本研究所使用的引物

Table 2 Primers used in this study

Primers	Sequences (5'→3')	Size (bp)
mlc-up-F	CCTTCCTGAATACCGACAACCATCAAC	27
mlc-up-R	TGCTTCACCATAGCCTACAGAACGATAACTTAGACTTTCAAGGT	44
mlc-down-F	TGAAAGTCTAAGTTATGCTTCTGTAGGCTATGGTAAGCACTTC	44
mlc-down-R	CATGAACCGCTTATGGCGATGAT	23
mlc-N20-F	GGCGGAAACCAGACCGATGAGTTAGAGCTAGAAATAGCAAG	43
mlc-N20-R	ACTAGTATTATACCTAGGACTGAGCTAGCTGTCATCGGTCTGGTTCCGCC	51
cadA-up-F	TGGGGCTGCGATAGAACCG	19
cadA-up-R	CCCATGTGTTGGAGGGGCCTGGCTGCCACTTCCCTTTTG	44
cadA-down-F	GGCCCCCTCCCAACACATGGGAC	22
cadA-down-R	GGCTCCTGGATGATGTTGGTAGG	23
cadA-N20-F	GGATCTTCACGATACAGAGAGTTAGAGCTAGAAATAGCAAG	43
cadA-N20-R	TCTCTGTATCGTAAGATCCACTAGTATTATACCTAGGACTGAGCTAGCTG	51
malA-1	TGAGCGTCTAGAGCCCCCTG	19
malA-2	AAATGGGGAATTTCATTATGATATGCGGGTTGGGCTTTG	41
malP-1	TTTCACACAAAGGAGACTGCCATGATGCAAAAAATTCAAGCGCTTTGGAA	48
malP-2	TCCCGAAAAGGAGGGCAGTCTTATTGATTCAATATTTTCCACACGCTCCCG	54
nirBD-F	GCACTAGTAAAGAGGAGAAAGGATCCATGAGCAAAGTCAGACTCGCA	47
nirBD-R	CCTTCTCCTCTTACTAGTGTAGCATTATACCTA	36
BsnasB-F	GTGGACAGCAAATGGTCGCGGATCCATGAAGAAACAAAGATTAGTGTAGCGGGA	56
BsnasB-R	GACGGGCGCATATAAGAAAGGATGACTCGAGCACCAACCACCACTG	51
BsnasC-F	TGCCGCGCGCAGCCATATGATGACTGAACGACTGCTTAGATATTCGG	49
BsnsC-R	TGGATCCTTCTCCTCTTAATAAGCTTTAAATAGGTATGATTGGACGGCGC	54
gdhA-F	CACCATCACCATCACGGATCCATGGATCAGACATATTCTCTGGAGTCATTCC	52
gdhA-R	AGGTCGACCCGGGGTACCGAGCTCTAAATCACACCCCTGCCAGC	46
glnA-F	GGTCCCGCGCGCAGCCATATG ATGTCGCTGAACACGTACTG	43
glnA-R	TTAGACGCTGTAGTACAGCTAAACTCTCGAGCACCACCAACCA	48
amtB-F	TCACCATCACCATCACGGATCCATGAAGATAGCGACGATAAAACTGGC	50
amtB-R	TGCAGGTCGACCCGGGGTACCGAGCTCTACCGTTATAGGCATTCTCGCC	51
gltBD-F	GCATCACCATCACCATCACGGATCCATGGTACGATAAATCCCTGAGAGGG	53
gltBD-R	AGGTCGACCCGGGGTACCGAGCTCTAAACTCCAGCCAGTTCATATAACCGT	53
gntT-up-F	GTTACGCCATTCTGCAATTGGC	23
gntT-up-R	GATTACCTGGCCTTCATTGTTATGG	28
gntT-down-F	AAATGAAAAGGCCAGGTAAATCTAACACTGACTGCCGGATGCG	42
gntT-down-R	CTGGGAGTGCAGGGATCTAA	20
gntT-N20-F	AGAGTACTTAACCTGACTATGTTAGAGCTAGAAATAGCAAG	44
gntT-N20-R	ATAGTCAGGTTAAAGTACTCTACTAGTATTATACCTAGGACTGAGCTAGCTG	52

## 1.2 方法

### 1.2.1 重组菌株构建

基因敲除与整合采用 CRISPR-Cas9 技术，重组质粒的构建采用一步同源重组法进行，基因 *gdhA*、*glnA*、*gltBD*、*amtB*、*nirB*、*nirD* 以

*E. coli* MG1655 基因组为模板，通过 PCR 扩增获得。来源于枯草芽孢杆菌(*Bacillus subtilis*)的基因 *nasC*、*nasB*、*malA*、*malP* 以 *B. subtilis* 168 基因组为模板，通过 PCR 扩增获得。本研究所用其他基因均由苏州金唯智生物科技有限公司

进行密码子优化及合成。

### 1.2.2 培养方法

**种子培养：**于保藏甘油管中吸取 200 μL 菌液，移入装有 50 mL LB 培养基的三角瓶中，37 °C、200 r/min 条件下培养 8 h。

**摇瓶发酵：**将发酵培养基中初始糖浓度调整至 50 g/L，以 15% 接种量将种子培养液接种于装有 70 mL 发酵培养基的 500 mL 三角瓶中，37 °C、190 r/min 培养 36 h，发酵过程中每 4 h 用氨水调整 pH。

**发酵罐发酵：**采用 5 L 全自动搅拌发酵罐进行发酵，发酵初始装液量为 2 L，将种子液以 15% 接种量(体积分数)接种至发酵培养基中，发酵温度为 37 °C，调整初始转速 400 r/min，通入 100% 无菌干燥空气进行发酵，过程中通过调整搅拌转速及通气速率维持溶解氧浓度 30%–40%，通过流加氨水将 pH 维持在 6.70–6.80 之间，通过调整硫酸铵流加速率控制氨氮浓度，通过调整葡萄糖流加速率控制残糖浓度，共发酵 36 h。

### 1.2.3 分析检测方法

**转化率计算：**转化率=总产酸(g)/总耗糖(g)×100%=[产酸浓度(g/L)×下罐体积(L)]/总耗糖(g)×100%。

**L-赖氨酸检测：**取发酵液 1 mL，12 000 r/min 离心 2 min 后取上清稀释至合理倍数，使用乙氧基亚甲基丙二酸二乙酯(diethyl ethoxymethylene malonate, DEEMM)衍生 L-赖氨酸，衍生体系包括 4.5 μL DEEMM、70.5 μL 蒸馏水、150 μL 甲醇、450 μL 硼酸缓冲液。衍生后混合物经 0.22 μm 过滤，使用 HPLC 系统进行分析，使用 Agilent-C18 色谱柱(250 mm×4.6 mm, 5 μm)，柱温 35 °C，流速 1 mL/min，流动相由 100% 乙腈(A)和 pH 4.80 的 25 mmol/L 乙酸钠(B)组成。

**细胞浓度检测：**取细胞培养液，稀释至  $OD_{562}$  为 0.20–0.80 之间，通过紫外分光光度计

检测其在波长 562 nm 下吸光度。

**糖浓度检测：**葡萄糖采用 SBA-40E 生物传感分析仪检测(深圳市希尔曼生物技术有限公司)，麦芽糖、潘糖、异麦芽糖采用 ICS-3000 离子色谱仪检测。 $NH_4^+$ 采用 E-10 离子分析仪检测。

**有机酸检测：**HPLC 法检测乙酸、乳酸、琥珀酸、酮戊二酸、柠檬酸，取发酵液 2 mL，12 000 r/min 离心 10 min，收集上清液，使用 Aminex HPX-87H (300 mm×7.8 mm, 9 μm) 色谱柱进行检测，检测波长 210 nm，柱温 52 °C，流动相为 5 mmol/L 稀硫酸。

## 2 结果与分析

### 2.1 L-赖氨酸生产菌 XC1 底物利用效率评估

为了得到 L-赖氨酸高产菌株，以实验室保藏的 L-赖氨酸生产菌株 *E. coli* M2019435 为底盘，借助 CRISPR 基因编辑技术在基因组上增加 *aspC*、*lysC*、*asd*、*dapA*、*dapB* 的拷贝数，增强 L-赖氨酸合成路径，得到突变菌株 XC1。如图 1E 所示，其在 5 L 发酵罐中菌体浓度、L-赖氨酸产量、产率和生产强度为 19.20 g/L、145.00 g/L、60.25% 和 4.03 g/(L·h)。

如表 3 所示，工业葡萄糖原料除了含有 97.498% 葡萄糖外，还含有一定的麦芽糖、潘糖、异麦芽糖等二糖和三糖成分。甜菜糖蜜中则含有约 50% 的蔗糖及约 1% 的果糖<sup>[14]</sup>。以不同二糖和三糖为唯一碳源，菌株 XC1 的生长性能和 L-赖氨酸产量如图 1A、1C 所示。菌株 XC1 在 2.00 g/L 葡萄糖、蔗糖、麦芽糖、潘糖、异麦芽糖、果糖为唯一碳源时的最大细胞干重(dry cell weight, DCW) 分别为 0.91、0.38、0.15、0.05、0.05、0.35 g/L；L-赖氨酸产量分别为 1.17、0.75、0.33、0、0、0.32 g/L。这一结果表明：(1) 菌株 XC1 都能利用二糖和三糖进行生长；(2) 但与以葡萄糖为碳源进行比较，以蔗糖、麦芽糖、

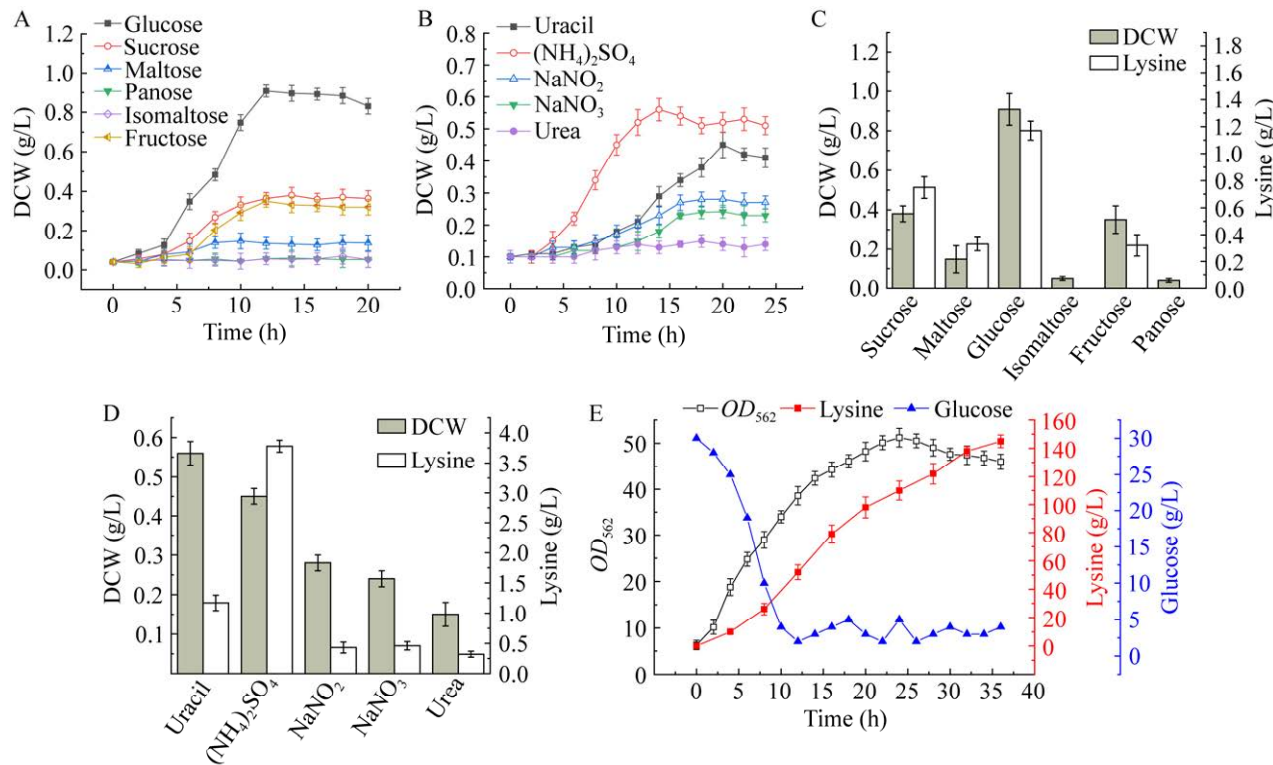


图 1 不同碳氮源对菌株 XC1 生长性能和 L-赖氨酸产量的影响 A: XC1 菌株在不同碳源上的生长情况. B: XC1 菌株在不同氮源上的生长情况. C: XC1 菌株在不同碳源上的 L-赖氨酸生产情况. D: XC1 菌株在不同氮源上的 L-赖氨酸生产情况. E: 5 L 发酵罐中 XC1 菌株的生产指标

Figure 1 Effect of different carbon and nitrogen sources on the growth performance and L-lysine production of strain XC1. A: Dry cell weight of XC1 on different carbon sources. B: Dry cell weight of XC1 on different nitrogen sources. C: L-lysine production of XC1 on different carbon sources. D: L-lysine production of XC1 on different nitrogen sources. E: Production performance of the XC1 in 5L fermentor.

表 3 葡萄糖原料成分及占比情况

Table 3 Components and proportions of glucose raw materials

Component	Proportion (%)
Glucose	97.498
Maltose	0.939
Panose	0.550
Isomaltose	0.944
Other	0.069

果糖为碳源时菌株 XC1 生长性能分别降低了 58.20%、83.50%、61.50%，而 L-赖氨酸产量分别降低了 35.80%、71.70% 和 72.60%，表明菌株 XC1 利用蔗糖、麦芽糖、果糖的能力相对较

差；(3) 以潘糖、异麦芽糖为碳源时，菌株 XC1 生长停滞，几乎不产 L-赖氨酸，表明菌株 XC1 不能利用异麦芽糖和潘糖。

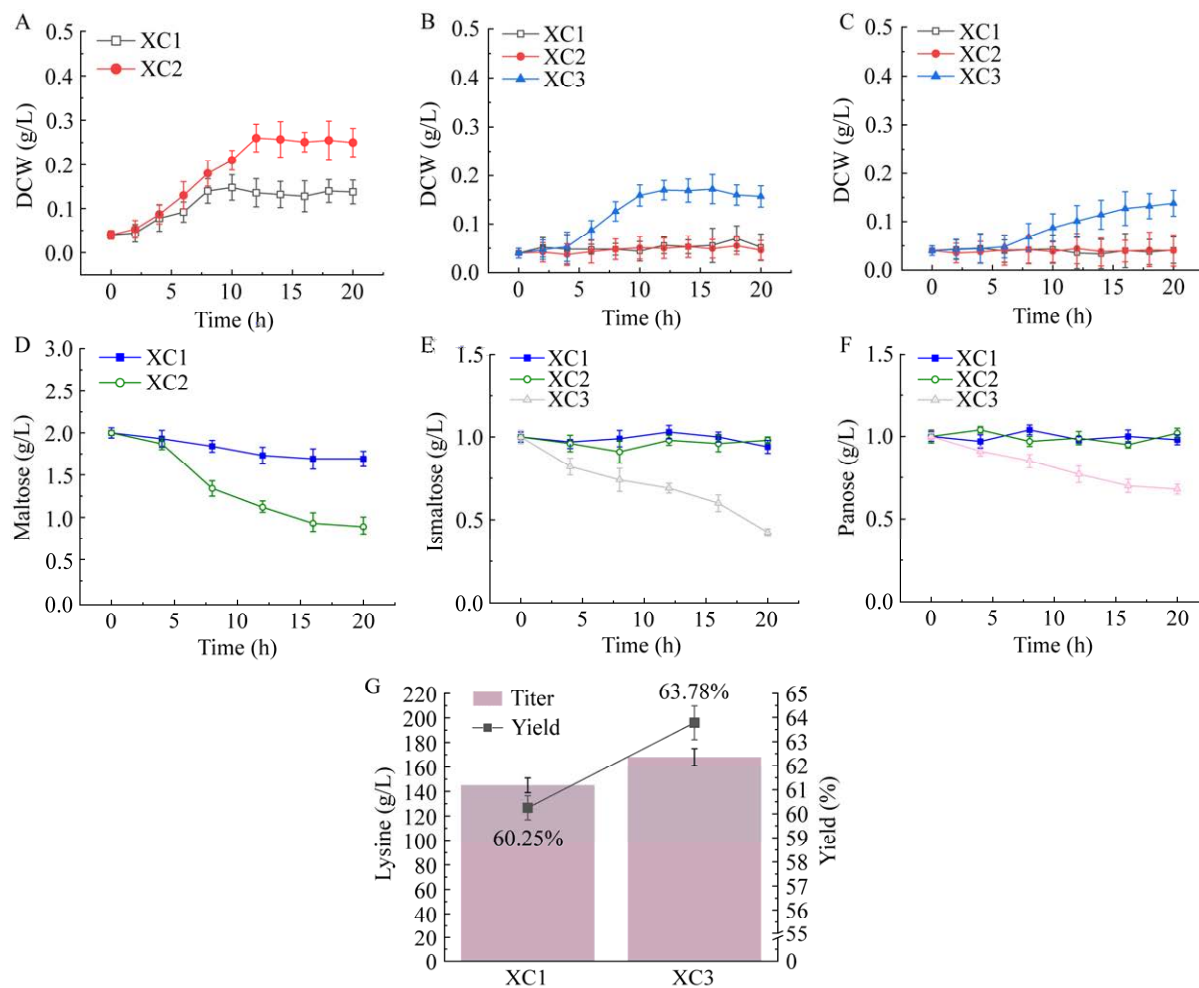
菌株 XC1 对不同氮源的利用能力如图 1B、1D 所示，在分别以 5.00 g/L 尿嘧啶、(NH<sub>4</sub>)<sub>2</sub>SO<sub>4</sub>、NaNO<sub>2</sub>、NaNO<sub>3</sub>、尿素为唯一氮源时，菌株 XC1 的 DCW 分别为 0.56、0.45、0.28、0.24、0.15 g/L；L-赖氨酸产量分别为 1.17、3.78、0.43、0.46、0.32 g/L。其中，以(NH<sub>4</sub>)<sub>2</sub>SO<sub>4</sub> 为氮源时，菌株 XC1 的 DCW 分别比以尿嘧啶、NaNO<sub>2</sub>、NaNO<sub>3</sub>、尿素为氮源低 24.44%、高 96.00%、高 133.33% 和高 273.33%，L-赖氨酸产量高 223.08%、778.34%、

720.32% 和 1 071.25%。这一结果表明, 菌株 XC1 对  $\text{NH}_4^+$  形式的氮源具有较高的利用效率, 而对  $\text{NO}_2^-$  和  $\text{NO}_3^-$  形式的氮源利用效率较差。

## 2.2 代谢工程改造菌株 XC1 提高碳源利用效率

为了提高菌株 XC1 对麦芽糖的利用能力,

通过敲除转录抑制因子基因 *mlc*, 解除 *mlc* 对麦芽糖操纵子的阻遏调控<sup>[15]</sup>, 获得工程菌株 XC2 (XC1- $\Delta mlc$ )。如图 2A、2D 所示, 与菌株 XC1 相比, 工程菌株 XC2 最大 DCW、麦芽糖消耗速率比菌株 XC1 分别提高了 73.33% (0.15 g/L 提高到 0.26 g/L) 和 4.43 倍 [15.50 mg/(L·h) 提高



**图 2 不同菌株对麦芽糖、异麦芽糖、潘糖的利用能力比较** A: XC1 和 XC2 菌株在麦芽糖培养基上的生长情况. B: XC1、XC2 和 XC3 菌株在异麦芽糖培养基上的生长情况. C: XC1、XC2 和 XC3 菌株在潘糖培养基上的生长情况. D: 各重组菌株的麦芽糖消耗速率. E: 各重组菌株的异麦芽糖消耗速率. F: 各重组菌株的潘糖消耗速率. G: 重组菌株间 L-赖氨酸产量及转化率比较

Figure 2 Comparison of the utilization abilities of maltose, isomaltose and panose by different strains. A: Growth of XC1 and XC2 on maltose culture medium. B: Growth of XC1, XC2 and XC3 on isomaltose culture medium. C: Growth of XC1, XC2 and XC3 on panose culture medium. D: Maltose consumption rate of recombinant strains. E: Isomaltose consumption rate of recombinant strains. F: Panose consumption rate of recombinant strains. G: Comparison of L-lysine production and yield in recombinant strains.

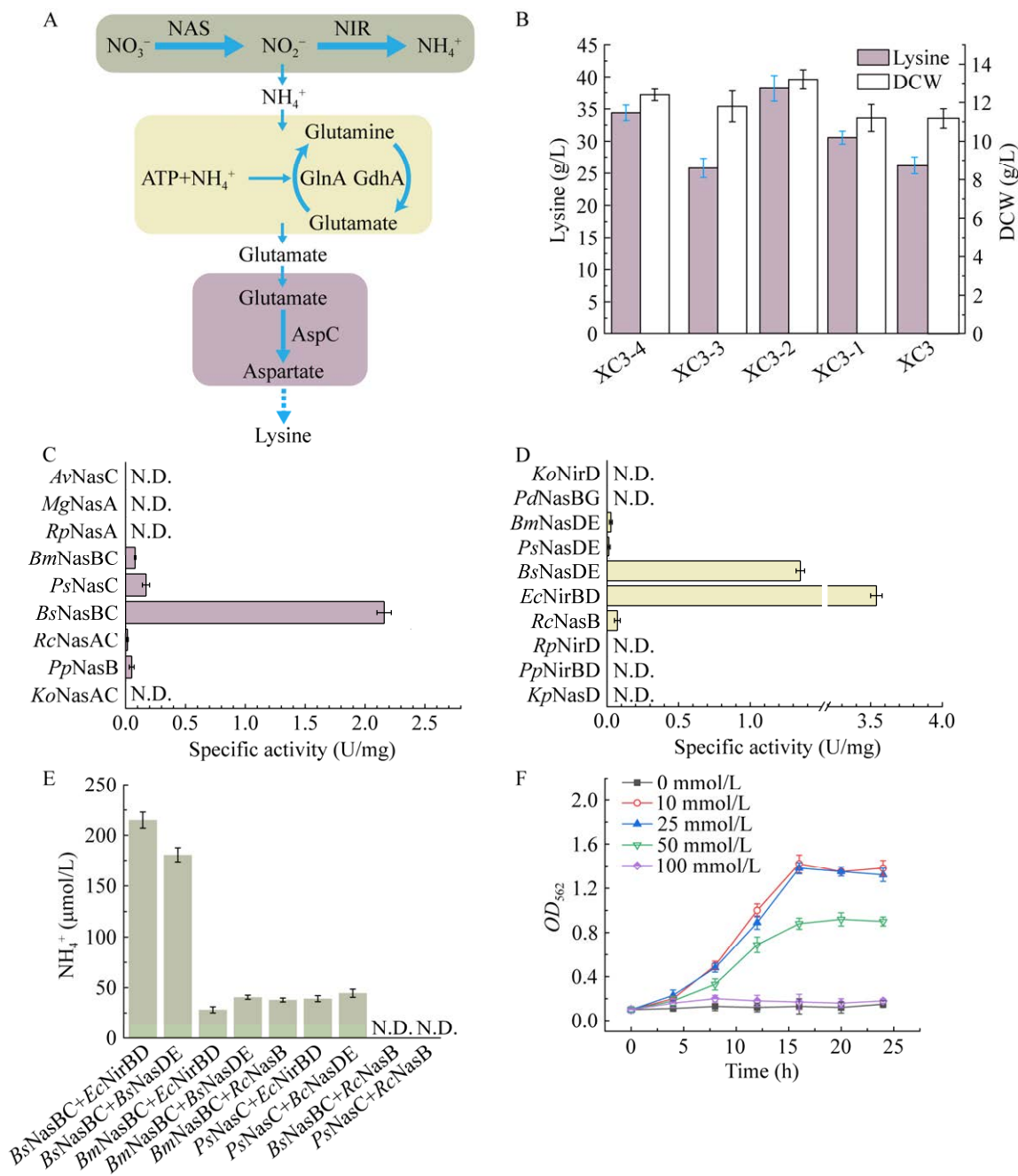
到 68.75 mg/(L·h)]。为了进一步提高菌株对异麦芽糖及潘糖的利用,在工程菌株 XC2 的赖氨酸脱羧酶 2 的 *cadA* 位点上整合表达来源于 *B. subtilis* 的  $\alpha$ -磷酸-葡萄糖苷酶基因 *malA* 和丙酮酸依赖型麦芽糖磷酸转移酶亚基基因 *malP*<sup>[16]</sup>, 获得菌株 XC3 (XC2- $\Delta cadA$ ::*malAP*)。在以异麦芽糖为唯一碳源时(图 2B、2E), 工程菌株 XC3 最大 DCW 和异麦芽糖消耗速率分别提高到 0.18 g/L 和 28.75 mg/(L·h)。以潘糖为唯一碳源时(图 2C、2F), 工程菌株 XC3 最大 DCW 和潘糖消耗速率分别提高到 0.13 g/L 和 15.04 mg/(L·h)。将工程菌株 XC3 于 5 L 发酵罐中进行 L-赖氨酸发酵生产, 结果如图 2G 所示, 工程菌株 XC3 的 L-赖氨酸产量、转化率和生产强度为 160.00 g/L、63.78% 和 4.44 g/(L·h), 比菌株 XC1 提高了 10.34%、5.86% 和 10.17%。上述结果表明, 通过改造菌株 XC1 的碳底物利用途径, L-赖氨酸生产菌株对麦芽糖、异麦芽糖、潘糖等二糖和三糖的利用效率显著提高, 同时也提高了 L-赖氨酸糖酸转化率和生产强度。

### 2.3 代谢工程改造大肠杆菌提高无机氮利用效率

L-赖氨酸分子结构中含有 2 个氨基, 每生成 1 mol 赖氨酸需要 2 mol NH<sub>4</sub><sup>+</sup>参与<sup>[3]</sup>, 因此, 氮源供应对进一步提高 L-赖氨酸合成效率具有重要意义。为了提高工程菌株 XC3 对 NH<sub>4</sub><sup>+</sup>的利用效率, 在菌株 XC3 中分别过表达铵转运蛋白 AmtB (*amtB* 编码)、谷氨酸脱氢酶(*glutamate dehydrogenase*, GDH) (*gdhA* 编码)、谷氨酸合成酶 GOGAT (*gltBD* 编码) 和谷氨酰胺合成酶 (*glutamine synthetase*, GS) (*glnA* 编码)<sup>[17-19]</sup>, 得到重组菌株 XC3-1、XC3-2、XC3-3、XC3-4, 实验结果如图 3B 所示: (1) 在菌株 XC3 中过表达 4 种氮代谢基因均能提升菌株生长性能, 其中菌株 XC3-2 (过表达 *gdhA*) 的 DCW 达到

13.20 g/L, 比菌株 XC3、XC3-1 (过表达 *amtB*)、XC3-3 (过表达 *gltBD*) 和 XC3-4 (过表达 *glnA*) 分别提高 17.80%、17.60%、11.40% 和 6.40%; (2) 摆瓶发酵中菌株 XC3-2 L-赖氨酸产量达到 38.20 g/L, 比菌株 XC3、XC3-1、XC3-3 和 XC3-4 分别提高了 47.50%、25.00%、48.02% 和 10.96%。这一结果表明, 通过强化谷氨酸脱氢酶增强 NH<sub>4</sub><sup>+</sup>进入大肠杆菌代谢路径的效率, 能有效地提高菌株的生长性能和 L-赖氨酸合成能力。

甜菜糖蜜作为 L-赖氨酸发酵的重要原料, 含有 3%~6% 硝酸盐, 是潜在的可利用氮源<sup>[20]</sup>。为了提高 L-赖氨酸生产菌株对硝酸盐的利用率, 在菌株 XC3-2 中构建硝酸盐同化路径<sup>[21]</sup>, 促使硝酸盐经亚硝酸盐转化成 NH<sub>4</sub><sup>+</sup>而被菌株所利用(图 3A)。这一硝酸盐利用途径需要硝酸盐还原酶(nitrate reductase, NAS) 和亚硝酸盐还原酶(nitrite reductase, NIR)<sup>[22]</sup>, 借助 BRENDa 数据库 (<https://www.brenda-enzymes.org/>) 和 KEGG 数据库 (<https://www.kegg.jp/>), 发现来源于 *B. subtilis* 的 *BsNasBC* 和 *E. coli* 的 *EcNirBD* 比酶活最高, 为 2.160 U/mg 和 3.540 U/mg (表 4、表 5, 图 3C、3D)。将催化两步反应的酶进行两两组合, 通过测定 NH<sub>4</sub><sup>+</sup>生成量评估催化能力。结果表明, *BsNasBC* 和 *EcNirBD* 与 2 mmol/L NaNO<sub>3</sub> 共反应, 共生成 215 μmol/L NH<sub>4</sub><sup>+</sup> (图 3E), 分别比其他组合高 19.40%、667.00%、438.00%、467.00%、448.00% 和 382.00%, 是构建硝酸盐同化路径的最优组合。将 *BsNasBC*、*EcNirBD* 导入 XC3-2 菌株, 得到突变菌株 XC4, 检测菌株在 0、10、25、50、100 mmol/L NaNO<sub>3</sub> 为唯一氮源时的生长情况, 结果如图 3F 所示。菌株 XC4 能够在 10、25 和 50 mmol/L 的硝酸盐培养基上生长, 最大 DCW 分别为 0.57、0.55 和 0.37 g/L; 但无法在 0 mmol/L 以及 100 mmol/L 的硝酸盐培养基上进行生长。上述结果表明, 成功构建了一株氮源利用效率提



**图 3 强化无机氮源利用路径的构建与评估** A: 硝酸盐同化路径示意图. B: 重组菌株生产性能比较. C: 硝酸盐还原酶酶活比较. D: 亚硝酸盐还原酶酶活比较. E: 不同硝酸盐同化路径酶组合的  $\text{NH}_4^+$  生产情况. F: XC4 菌株在不同浓度硝酸盐中的生长情况

Figure 3 Construction and evaluation for enhancing the utilization of inorganic nitrogen sources. A: Schematic diagram of nitrate assimilation pathway. B: Growth and production situation of recombinant strains. C: Comparison of nitrate reductase activities. D: Comparison of nitrite reductase activities. E: Comparison of  $\text{NH}_4^+$  production by various enzyme combinations. F: Comparison of growth of XC4 in culture media with different concentrations of nitrate. N.D. represents not detected.

**表 4 硝酸盐还原酶表达情况及比酶活参数**

Table 4 Expression status and specific enzyme activity parameters of nitrate reductases

Designation	Expression status	Specific activity (U/mg)
KoNasAC	Insoluble	Inactive
PpNasB	Insoluble	0.051
RcNasAC	Insoluble	0.015
BsNasBC	Soluble	2.160
PsNasC	Soluble	0.170
BmNasBC	Soluble	0.080
RpNasA	Non-expression	Inactive
MgNasA	Non-expression	Inactive
AvNasC	Non-expression	Inactive

**表 5 亚硝酸盐还原酶表达情况及比酶活参数**

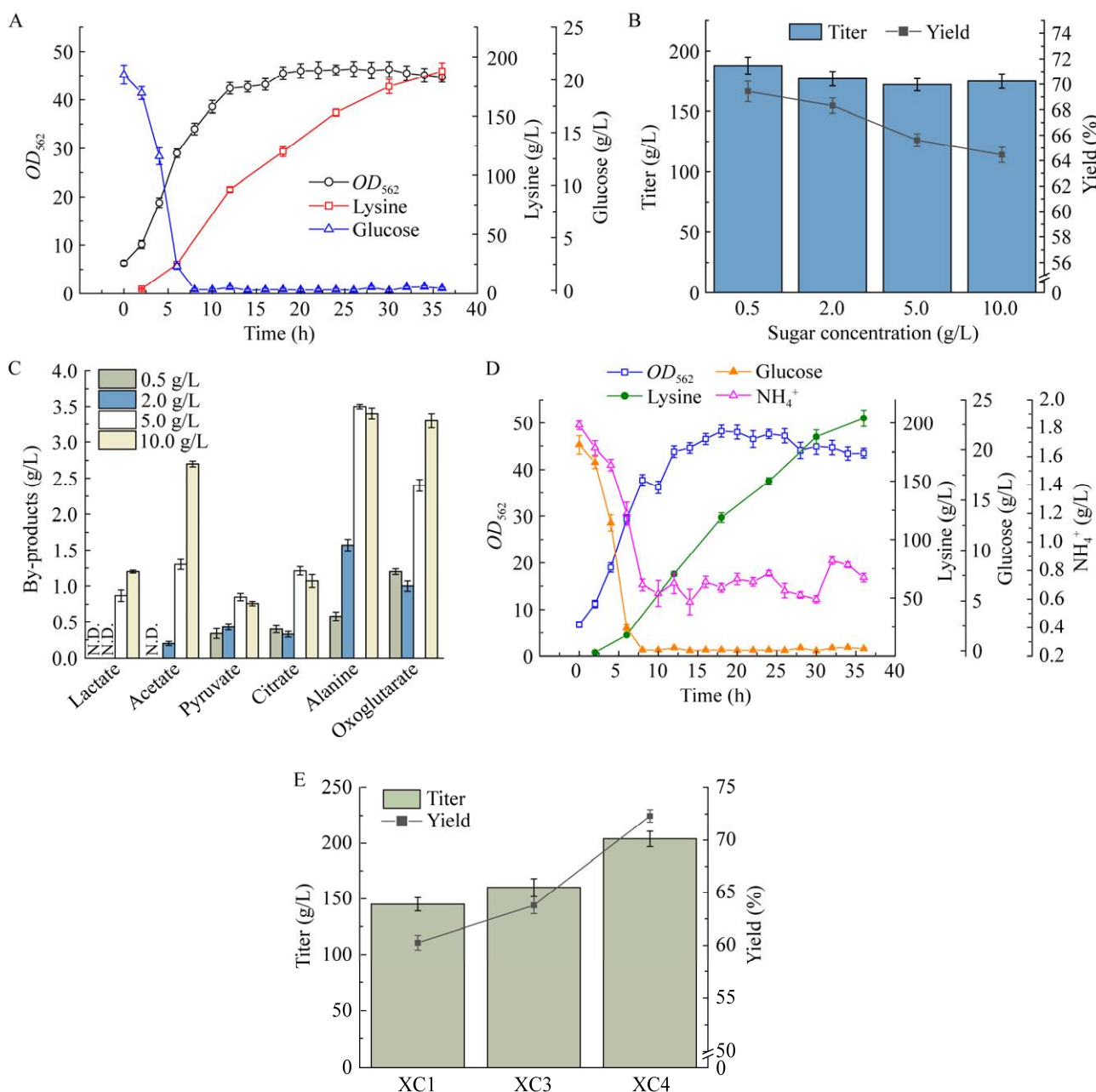
Table 5 Expression status and specific enzyme activity parameters of nitrite reductases

Designation	Expression status	Specific activity (U/(mg))
KoNirD	Insoluble	Inactive
PpNirBD	Insoluble	Inactive
RpNirD	Insoluble	Inactive
RcNasB	Insoluble	0.072
EcNirBD	Soluble	3.540
BsNasDE	Soluble	1.350
PsNirBD	Soluble	0.012
BmNasDE	Soluble	0.027
PdNasBG	Non-expression	Inactive
KpNasD	Non-expression	Inactive

**表 6 不同残糖条件下 L-赖氨酸发酵参数的比较**

Table 6 Comparison of L-lysine fermentation parameters under varying residual sugar conditions

Parameter	Glucose (g/L)				(D/A-1)×100%	(D/B-1)×100%	(D/C-1)×100%
	10.00	5.00	2.00	0.50			
	(A)	(B)	(C)	(D)			
Culture time (h)	36.00	36.00	36.00	36.00	0.00	0.00	0.00
Maximum DCW (g/L)	19.30	20.00	18.80	18.40	-4.66	-8.00	-2.12
Titer of lysine (g/L)	175.00	172.00	177.00	188.00	7.42	9.30	6.21
Yield of lysine on glucose (%)	64.46	65.61	68.32	69.44	1.70	0.52	1.02
Productivity (g/(L·h))	4.86	4.78	4.92	5.22	8.50	13.80	10.30
Titer of lysine on DCW	9.07	8.60	9.41	10.22	13.70	23.80	12.60
Consumption of glucose (g)	684.00	655.00	647.00	676.00	-1.16	3.20	4.48
Consumption of glucose on DCW	35.44	32.75	34.41	36.70	3.55	12.06	6.65



**图 4 XC4 菌株在 5 L 发酵罐中的生长和 L-赖氨酸生产情况 A: XC4 在 5 L 发酵罐中的发酵过程曲线. B: XC4 在不同糖浓度下的 L-赖氨酸产量和转化率比较. C: XC4 在不同糖浓度下的副产物积累情况. D: 碳氮比优化后的 XC4 发酵过程曲线. E: 各重组菌株最大产量及转化率**

Figure 4 Growth characteristics and L-lysine production of strain XC4 in a 5 L fermenter. A: Fermentation process curve of strain XC4 in a 5 L fermentation tank. B: Comparison of yield and titer of XC4 under different sugar concentrations. C: Accumulation of by-products of XC4 under different sugar concentrations. D: Fermentation process curve of optimized XC4. E: Maximum titer and yield of each recombinant strain. N.D. represents not detected.

子 L-赖氨酸需要 1 分子葡萄糖及 2 分子  $\text{NH}_4^+$  参与, 这一特点表明控制发酵液中碳氮比十分重要, 因此, 在确定最优糖浓度 0.50 g/L 的基础上, 通过维持不同氨氮浓度 (0.25–0.50、0.50–1.00、1.00–1.50、1.50–2.00 g/L), 使发酵过程中碳氮比分别处于 2:1–1:1、1:1–1:2、1:2–1:3、1:3–1:4, 研究了不同碳氮比对菌株 XC4 生产 L-赖氨酸的影响, 结果如图 4C–4E 和表 7 所示: (1) 控制碳氮比 1:1–1:2 之间时, L-赖氨酸产量由 188.00 g/L 提高至 204.00 g/L, 提高了 8.51%。(2) 转化率由 69.44% 提高至 72.32%, 提高了 4.18%。(3) 单位细胞 L-赖氨酸生产能力提高至 11.20, 提高了 9.80%。(4) 生产强度由 5.22 g/(L·h) 提高至 5.67 g/(L·h), 提高了 8.62%。(5) 乳酸、乙酸、丙酮酸、柠檬酸、酮戊二酸等积累量均降至 1.50 g/L 以下。上述结果表明, 通过优化补料策略维持碳氮比在 1:1–1:2 之间, 实现碳氮源的适量供应, 能够有效提升 XC4 菌株的 L-赖氨酸产量及转化率, 降低副产物积累, 从而提高 L-赖氨酸生产效率。

### 3 讨论与展望

大肠杆菌利用碳源底物的途径主要有: (1) 磷酸转移酶系统 (phosphotransferase system, PTS) 将葡萄糖转运至胞内进行利用。(2) 通过激活麦芽糖操纵子 (*malATQ*) 表达, 将麦芽糖转

运至胞内并进一步分解为单糖进行利用。但上述 2 个碳源利用途径都受到全局调控因子 *Mlc* 调控<sup>[13]</sup>, PTS 系统葡萄糖转运酶 EIICB 在转运葡萄糖时会螯合 *Mlc* 蛋白而失活, 抑制葡萄糖转运效率<sup>[14]</sup>; 同时, *Mlc* 还会通过结合麦芽糖操纵子转录激活因子 *MalT*, 抑制麦芽糖操纵子的表达<sup>[15]</sup>, 限制大肠杆菌对麦芽糖的高效利用。本研究以实验室保藏菌株为底盘细胞, 首次在 L-赖氨酸生产菌株中敲除了转录调控因子基因 *mlc*, 弱化 *Mlc* 蛋白对 EIICB 和麦芽糖操纵子的阻遏作用, 得到的突变菌株 *E. coli* XC2 麦芽糖消耗速率提高了 4.43 倍。进一步通过引入来源于 *B. subtilis* 的 *malAP*<sup>[24]</sup>, 强化 *E. coli* XC2 对异麦芽糖、潘糖等三糖的利用, 得到了菌株 *E. coli* XC3, *E. coli* XC3 L-赖氨酸产量提升至 160.00 g/L, 转化率提升至 63.78%。

L-赖氨酸和 L-精氨酸的高效合成都需要充足的氮源供应。在 L-精氨酸高产菌株构建中, 通过代谢工程改造氮源供应是一个有效的策略, 如在 L-精氨酸生产菌 *C. glutamicum* SDNN403 中过表达谷氨酰胺合成酶基因 *glnA* 使精氨酸产量提高了 41.50%<sup>[25]</sup>; 在 *C. crenatum* 中强化铵转运蛋白基因 *amtB* 表达, 将精氨酸产量提高了 35.14%<sup>[26]</sup>。在本研究中, 为了进一步提高 L-赖氨酸生产菌的氮代谢路径效率, 通过过表达谷氨酸脱氢酶基因 *gdhA*, 得到了 *E. coli*

表 7 不同碳氮比条件下 L-赖氨酸发酵参数比较

Table 7 Comparison of L-lysine fermentation parameters under different carbon to nitrogen ratios

Parameter	Carbon nitrogen ratio				(B/A-1)×100%	(B/C-1)×100%	(B/D-1)×100%
	2:1–1:1 (A)	1:1–1:2 (B)	1:2–1:3 (C)	1:3–1:4 (D)			
Maximum DCW (g/L)	19.80	18.20	18.40	21.10	-7.07	-1.09	-12.70
Titer of lysine (g/L)	175.00	204.00	188.00	170.00	16.50	8.51	20.00
Yield of lysine on glucose (%)	68.71	72.32	69.44	66.11	5.28	4.17	9.42
Productivity (g/(L·h))	4.86	5.67	5.22	4.72	16.67	8.62	20.12
Titer of lysine on DCW	8.83	11.20	10.20	8.05	26.80	9.80	39.13

XC3-2, 此菌株在摇瓶发酵上的 L-赖氨酸产量比出发菌株提高了 55.10%。为了提高 *E. coli* XC3-2 对其他氮源(硝态氮)的利用, 首次在大肠杆菌中构建了硝酸盐同化路径<sup>[27-28]</sup>, 得到菌株 *E. coli* XC4 能够利用  $\text{NO}_3^-$ 、 $\text{NO}_2^-$  为氮源, 最终, 在 5 L 发酵罐上经过残糖浓度优化和碳氮比优化, *E. coli* XC4 生产强度达到 5.67 g/(L·h), L-赖氨酸产量达 204.00 g/L, 糖酸转化率达到 72.32%。

虽然通过改造碳源、氮源代谢路径得到的 *E. coli* XC4 菌株相比菌株 XC1 的 L-赖氨酸产量和转化率分别提高了 40.69% 和 20.03%, 但仍与理论转化率(81.00%)存在较大差距。因此, 在传统代谢工程改造的基础上, 亟须开发全新策略, 例如: (1) 构建谷氨酸棒杆菌-大肠杆菌混合发酵体系以蔗糖为碳源生产 L-赖氨酸<sup>[29]</sup>; (2) 通过 DNA 复制工程加速 DNA 突变频率, 缩短实验室适应性进化周期<sup>[30-31]</sup>, 同时结合高通量菌株筛选方法<sup>[32-33]</sup>, 提高高产菌株筛选效率; (3) 针对发酵后期发酵液中渗透压高、产物毒性强等问题, 开发抗逆元件提高菌株抗逆性能<sup>[34]</sup>, 都能进一步提高 L-赖氨酸的产量和转化率。

## REFERENCES

- [1] WENDISCH VF. Metabolic engineering advances and prospects for amino acid production[J]. Metabolic Engineering, 2020, 58: 17-34.
- [2] DO CARMO FÉLIX FK, LETTI LAJ, de MELO PEREIRA GV, BONFIM PGB, SOCCOL VT, SOCCOL CR. L-lysine production improvement: a review of the state of the art and patent landscape focusing on strain development and fermentation technologies[J]. Critical Reviews in Biotechnology, 2019, 39(8): 1031-1055.
- [3] YING HX, HE X, LI Y, CHEN KQ, OUYANG PK. Optimization of culture conditions for enhanced lysine production using engineered *Escherichia coli*[J]. Applied Biochemistry and Biotechnology, 2014, 172(8): 3835-3843.
- [4] YE C, LUO QL, GUO L, GAO C, XU N, ZHANG L, LIU LM, CHEN XL. Improving lysine production through construction of an *Escherichia coli* enzyme-constrained model[J]. Biotechnology and Bioengineering, 2020, 117(11): 3533-3544.
- [5] LIU J, OU Y, XU JZ, RAO ZM, ZHANG WG. L-lysine production by systems metabolic engineering of an NADPH auto-regulated *Corynebacterium glutamicum*[J]. Bioresource Technology, 2023, 387: 129701.
- [6] WU WJ, ZHANG Y, LIU DH, CHEN Z. Efficient mining of natural NADH-utilizing dehydrogenases enables systematic cofactor engineering of lysine synthesis pathway of *Corynebacterium glutamicum*[J]. Metabolic Engineering, 2019, 52: 77-86.
- [7] KAJSIKOVA M, KAJSIK M, DRAHOVSKA H, BUKOVSKA G. Complete genome sequence of the industrial L-lysine production strain [*Brevibacterium*] flavum CCM 251[J]. Biologia, 2022, 77(5): 1423-1428.
- [8] XU JZ, HAN M, REN XD, ZHANG WG. Modification of aspartokinase III and dihydrolipidate synthetase increases the production of L-lysine in *Escherichia coli*[J]. Biochemical Engineering Journal, 2016, 114: 79-86.
- [9] PIAO XY, WANG L, LIN BX, CHEN H, LIU WF, TAO Y. Metabolic engineering of *Escherichia coli* for production of L-aspartate and its derivative  $\beta$ -alanine with high stoichiometric yield[J]. Metabolic Engineering, 2019, 54: 244-254.
- [10] 郭亮, 高聪, 柳亚迪, 陈修来, 刘立明. 大肠杆菌生产饲用氨基酸的研究进展[J]. 合成生物学, 2021, 2(6): 964-981. GUO L, GAO C, LIU YD, CHEN XL, LIU LM. Advances in bioproduction of feed amino acid by *Escherichia coli*[J]. Synthetic Biology Journal, 2021, 2(6): 964-981 (in Chinese).
- [11] KIKUCHI Y, KOJIMA H, TANAKA T. Mutational analysis of the feedback sites of lysine-sensitive aspartokinase of *Escherichia coli*[J]. FEMS Microbiology Letters, 1999, 173(1): 211-215.
- [12] D'ESTE M, ALVARADO-MORALES M, ANGELIDAKI I. Amino acids production focusing on fermentation technologies-a review[J]. Biotechnology Advances, 2018, 36(1): 14-25.
- [13] KIM SY, NAM TW, SHIN D, KOO BM, SEOK YJ, RYU S. Purification of Mlc and analysis of its effects on the pts expression in *Escherichia coli*[J]. The Journal of Biological Chemistry, 1999, 274(36): 25398-25402.
- [14] ROCHA S, MARZIALETTI T, KOPP M, CEA M. Reaction mechanism of the microwave-assisted synthesis of 5-hydroxymethylfurfural from sucrose in sugar beet molasses[J]. Catalysts, 2021, 11(12): 1458.
- [15] LENGSFELD C, SCHÖNERT S, DIPPEL R, BOOS W. Glucose- and glucokinase-controlled *mal* gene expression in *Escherichia coli*[J]. Journal of Bacteriology, 2009,

- 191(3): 701-712.
- [16] YAMAMOTO H, SERIZAWA M, THOMPSON J, SEKIGUCHI J. Regulation of the *glv* operon in *Bacillus subtilis*: YfiA (GlvR) is a positive regulator of the operon that is repressed through CcpA and cre[J]. *Journal of Bacteriology*, 2001, 183(17): 5110-5121.
- [17] MIYAKOSHI M. Multilayered regulation of amino acid metabolism in *Escherichia coli*[J]. *Current Opinion in Microbiology*, 2024, 77: 102406.
- [18] YANG ZM, HAN YL, MA Y, CHEN QH, ZHAN YH, LU W, CAI L, HOU MS, CHEN SF, YAN YL, LIN M. Global investigation of an engineered nitrogen-fixing *Escherichia coli* strain reveals regulatory coupling between host and heterologous nitrogen-fixation genes[J]. *Scientific Reports*, 2018, 8: 10928.
- [19] KUMAR R, SHIMIZU K. Metabolic regulation of *Escherichia coli* and its *gdhA*, *glnL*, *gltB*, *gldD* mutants under different carbon and nitrogen limitations in the continuous culture[J]. *Microbial Cell Factories*, 2010, 9: 8.
- [20] BIRKE RR, CAUSON T, TURETSCHKE R, EMERSTORFER F, KARNER T, DOMIG KJ, HANN S. Requirements for accurate quantification of nitrate and nitrite in molasses: insights from an interlaboratory comparison[J]. *Food Control*, 2022, 134: 108712.
- [21] SHI WW, LU W, LIU QL, ZHI YE, ZHOU P. The identification of the nitrate assimilation related genes in the novel *Bacillus megaterium* NCT-2 accounts for its ability to use nitrate as its only source of nitrogen[J]. *Functional & Integrative Genomics*, 2014, 14(1): 219-227.
- [22] CHEN X, LIU CM, ZHU BL, WEI WX, SHENG R. The contribution of nitrate dissimilation to nitrate consumption in *narG*- and *napA*-containing nitrate reducers with various oxygen and nitrate supplies[J]. *Microbiology Spectrum*, 2022, 10(6): e0069522.
- [23] XU JZ, YU HB, HAN M, LIU LM, ZHANG WG. Metabolic engineering of glucose uptake systems in *Corynebacterium glutamicum* for improving the efficiency of L-lysine production[J]. *Journal of Industrial Microbiology & Biotechnology*, 2019, 46(7): 937-949.
- [24] ABE K, KURODA A, TAKESHITA R. Engineering of *Escherichia coli* to facilitate efficient utilization of isomaltose and panose in industrial glucose feedstock[J]. *Applied Microbiology and Biotechnology*, 2017, 101(5): 2057-2066.
- [25] GUO J, MAN ZW, RAO ZM, XU MJ, YANG TW, ZHANG X, XU ZH. Improvement of the ammonia assimilation for enhancing L-arginine production of *Corynebacterium crenatum*[J]. *Journal of Industrial Microbiology & Biotechnology*, 2017, 44(3): 443-451.
- [26] XU MJ, LI J, SHU QF, TANG M, ZHANG X, YANG TW, XU ZH, RAO ZM. Enhancement of L-arginine production by increasing ammonium uptake in an *AmtR*-deficient *Corynebacterium crenatum* mutant[J]. *Journal of Industrial Microbiology & Biotechnology*, 2019, 46(8): 1155-1166.
- [27] LUQUE-ALMAGRO VM, GATES AJ, MORENO-VIVIÁN C, FERGUSON SJ, RICHARDSON DJ, ROLDÁN MD. Bacterial nitrate assimilation: gene distribution and regulation[J]. *Biochemical Society Transactions*, 2011, 39(6): 1838-1843.
- [28] SPARACINO-WATKINS C, STOLZ JF, BASU P. Nitrate and periplasmic nitrate reductases[J]. *Chemical Society Reviews*, 2014, 43(2): 676-706.
- [29] SGOBBA E, STUMPF AK, VORTMANN M, JAGMANN N, KREHENBRINK M, DIRKS-HOFMEISTER ME, MOERSCHBACHER B, PHILIPP B, WENDISCH VF. Synthetic *Escherichia coli*-*Corynebacterium glutamicum* consortia for L-lysine production from starch and sucrose[J]. *Bioresource Technology*, 2018, 260: 302-310.
- [30] WANG XW, LI QG, SUN CM, CAI Z, ZHENG XM, GUO X, NI XM, ZHOU WJ, GUO YM, ZHENG P, CHEN N, SUN JB, LI Y, MA YH. GREACE-assisted adaptive laboratory evolution in endpoint fermentation broth enhances lysine production by *Escherichia coli*[J]. *Microbial Cell Factories*, 2019, 18(1): 106.
- [31] 刘佳, 郭亮, 罗秋玲, 陈修来, 高聪, 宋伟, 刘立明. 细胞寿命在大肠杆菌细胞工厂构建中的应用[J]. 生物工程学报, 2021, 37(4): 1277-1286.
- LIU J, GUO L, LUO QL, CHEN XL, GAO C, SONG W, LIU LM. Application of chronological lifespan in the construction cell factories[J]. *Chinese Journal of Biotechnology*, 2021, 37(4): 1277-1286 (in Chinese).
- [32] WANG Y, LI QG, ZHENG P, GUO YM, WANG LX, ZHANG TC, SUN JB, MA YH. Evolving the L-lysine high-producing strain of *Escherichia coli* using a newly developed high-throughput screening method[J]. *Journal of Industrial Microbiology and Biotechnology*, 2016, 43(9): 1227-1286.
- [33] 丁爽, 陈修来, 高聪, 宋伟, 吴静, 魏婉清, 刘佳, 刘立明. 模块化工程改造大肠杆菌生产 L-色氨酸[J]. 生物工程学报, 2023, 39(6): 2359-2374.
- DING S, CHEN XL, GAO C, SONG W, WU J, WEI WQ, LIU J, LIU LM. Modular engineering of *Escherichia coli* for high-level production of L-tryptophan[J]. *Chinese Journal of Biotechnology*, 2023, 39(6): 2359-2374 (in Chinese).
- [34] SÉVIN DC, SAUER U. Ubiquinone accumulation improves osmotic-stress tolerance in *Escherichia coli*[J]. *Nature Chemical Biology*, 2014, 10: 266-272.

(本文责编 陈宏宇)